

# Métodos numéricos para EDEs

v. 1.1.0

11 de octubre de 2015

Saúl Díaz Infante Velasco

`./Imagenes/Introduccion/colloid.jpg`

./Imagenes/Introduccion/browngranular-foto2p.jpg

./Imagenes/Introduccion/browngranular-foto2p.jpg

## Ecuaciones de Movimiento

$$m \frac{d^2 x}{dt^2} = -\gamma \frac{dx}{dt} + \Gamma(t)$$

- ▶  $x = x(t)$ : posición a tiempo  $t$ .
- ▶ Fuerza de fricción, donde  $\gamma = 6\pi\eta a$ ,  $\eta$  es la viscosidad laminar del solvente y  $a$  radio de la partícula.
- ▶  $\Gamma(t)$  : efecto estocástico debido a las colisiones.

## Ecuaciones de Movimiento

$$m \frac{d^2 x}{dt^2} = -\gamma \frac{dx}{dt} + \Gamma(t)$$

- ▶  $x = x(t)$ : posición a tiempo  $t$ .
- ▶ Fuerza de fricción, donde  $\gamma = 6\pi\eta a$ ,  $\eta$  es la viscosidad laminar del solvente y  $a$  radio de la partícula.
- ▶  $\Gamma(t)$  : efecto estocástico debido a las colisiones.

## Ecuaciones de Movimiento

$$m \frac{d^2 x}{dt^2} = -\gamma \frac{dx}{dt} + \Gamma(t)$$

- ▶  $x = x(t)$ : posición a tiempo  $t$ .
- ▶ Fuerza de fricción, donde  $\gamma = 6\pi\eta a$ ,  $\eta$  es la viscosidad laminar del solvente y  $a$  radio de la partícula.
- ▶  $\Gamma(t)$  : efecto estocástico debido a las colisiones.

## Ecuaciones de Movimiento

$$m \frac{d^2 x}{dt^2} = -\gamma \frac{dx}{dt} + \Gamma(t)$$

- ▶  $x = x(t)$ : posición a tiempo  $t$ .
- ▶ Fuerza de fricción, donde  $\gamma = 6\pi\eta a$ ,  $\eta$  es la viscosidad laminar del solvente y  $a$  radio de la partícula.
- ▶  $\Gamma(t)$  : efecto estocástico debido a las colisiones.



## Al aplicar eliminación adiabática [?]

$$\frac{dx}{dt} = \frac{1}{k_B T} DF + D^{\frac{1}{2}} \xi.$$

- ▶  $x = x(t)$ : posición a tiempo  $t$ .
- ▶  $k_B, T$ :  $k_B$  constantes de Boltzmann,  $T$  temperatura,
- ▶  $F = -\frac{dU}{dx}$ : fuerza de la partícula inmersa en un potencial  $U$ ,
- ▶  $D = \frac{k_B T}{6\pi\eta a}$ : coeficiente de difusión,
- ▶  $\xi$ : ruido blanco,  
 $\mathbb{E}(\xi(t)) = 0, \quad \mathbb{E}(\xi(t)\xi(t')) = 2\delta(t-t').$



Resolvemos  $\frac{dx}{dt} = \frac{1}{k_B T} DF + D^{\frac{1}{2}} \xi.$

Para **entender** los mecanismos de **difusión** en una suspensión coloidal. Sin embargo, en la práctica **no se tiene solución analítica**.

## Euler-Mayurama

$$Y_{j+1}^{(\alpha)}(h) = Y_j^{(\alpha)} + \frac{D}{T} F_j^{(\alpha)} \Delta t + R_j^{(\alpha)} \quad (1)$$

$$\mathbb{E} [R_j^{(\alpha)}] = 0 \quad (2)$$

$$\mathbb{E} [R_j^{(\alpha)} R_j^{(\beta)}] = 2Dh\delta_{ij}\delta_{\alpha\beta} \quad \alpha, \beta = x, y, z \quad (3)$$

- ▶  $Y_j^{(\alpha)}$ : posición.
- ▶  $h$ : incremento temporal.
- ▶  $F_j^{(\alpha)}$ : fuerza neta sobre la partícula  $i$  en la dirección  $\alpha$ .
- ▶  $R_j^{(\alpha)}$ : ruido blanco discreto, con media y covarianza como en (??) y (??).
- ▶  $D = \frac{k_B T}{\gamma}$ : coeficiente de difusión de Stokes - Einstein

## Euler-Mayurama

$$Y_{j+1}^{(\alpha)}(h) = Y_j^{(\alpha)} + \frac{D}{T} F_j^{(\alpha)} \Delta t + R_j^{(\alpha)} \quad (1)$$

$$\mathbb{E} \left[ R_j^{(\alpha)} \right] = 0 \quad (2)$$

$$\mathbb{E} \left[ R_j^{(\alpha)} R_j^{(\beta)} \right] = 2Dh \delta_{ij} \delta_{\alpha\beta} \quad \alpha, \beta = x, y, z \quad (3)$$

- Es fácil de implementar.
- Trabaja con un tamaño de **paso restrictivo**.

## Euler-Mayurama

$$Y_{j+1}^{(\alpha)}(h) = Y_j^{(\alpha)} + \frac{D}{T} F_j^{(\alpha)} \Delta t + R_j^{(\alpha)} \quad (1)$$

$$\mathbb{E} \left[ R_j^{(\alpha)} \right] = 0 \quad (2)$$

$$\mathbb{E} \left[ R_j^{(\alpha)} R_j^{(\beta)} \right] = 2Dh \delta_{ij} \delta_{\alpha\beta} \quad \alpha, \beta = x, y, z \quad (3)$$

Existen varios esquemas para discretizar la ecuación ya mencionada [?]. Sin embargo, no representan una mejora significativa a la precisión respecto al coste computacional.

En [?] usando el **promedio de Steklkov** se logra un esquema en diferencias exacto para resolver EO no lineales de la forma

$$\frac{dx}{dt} = f_1(x)f_2(t)$$



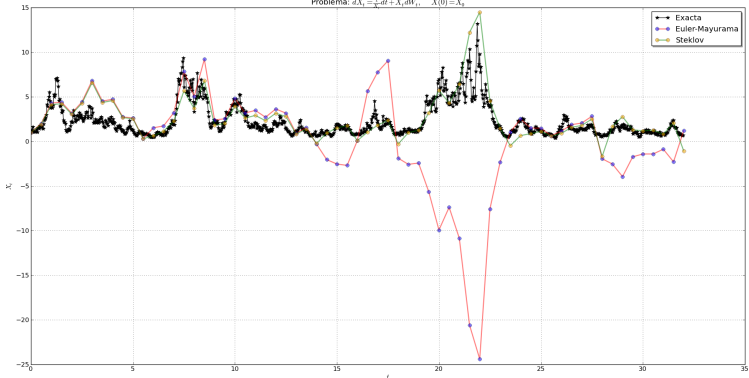
$$dX_t = \frac{1}{X_t} + X_t dB_t$$

$$Y_{j+1} = \sqrt{\varphi(h) + Y_j^2} + Y_j \Delta B_j \quad \varphi(h) = 2h$$

$$dX_t = \frac{1}{X_t} + X_t dB_t$$

$$Y_{j+1} = \sqrt{\varphi(h) + Y_j^2} + Y_j \Delta B_j \quad \varphi(h) = 2h$$

Problema:  $dX_t = \frac{1}{X_t} dt + X_t dB_t$ ,  $X(0) = X_0$



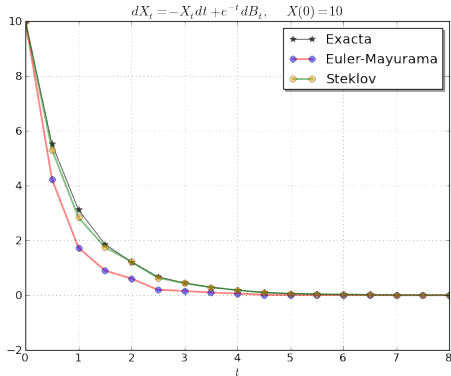


## Comparación con EM, $h = 0.5, X_0 = 10$

$$dX_t = -\lambda X_t dt + \mu \exp(-t) dB_t$$

$$X_{j+1} = X_j(1 - \lambda \phi(h)) + \mu \exp(-h) \Delta B_j$$

$$\phi(h) = \frac{1 - \exp(-\lambda h)}{\lambda}$$



## Objetivo de esta charla

- ▶ Mostrar **como adaptamos** el promedio de **Steklov** para aproximar

$$\frac{dx}{dt} = \frac{1}{k_B T} DF + D^{\frac{1}{2}} \xi.$$

- ▶ Exhibir la **estabilidad lineal** de los esquemas propuestos.
- ▶ Hablar de las **propiedades teóricas** que buscamos estudiar.

## Con ello buscamos

- ▶ Desarrollar **bases teóricas** para los esquemas Steklov.
- ▶ Obtener esquemas que **mejoren el tamaño de paso** del el método Euler- Mayurama con un costo computacional similar.





